

抵抗點熔接에 따른 過渡的 冷却 溫度履歷

金 眥 哲*

Transient Temperature Distributions in a Adiabatic Plate
Due to Resistance Spot Welding

by

Hyochul Kim

Abstract

As the technique of resistance spot welding became more and more advanced the factors hitherto considered secondary became more and more important. Among these factors the distribution of heat and temperature during resistance spot welding is particularly important in conjunction with thermal stress, strain and residual stress, strain problems.

The analytical investigations upon the transient temperature due to resistance spot welding were made for the carbon steel plate and aluminum alloy plate. The numerical values obtained by the analytical investigation are nearly identical with the temperature distribution which obtained by D. J. Sullivan and some other experimental data.

It was thought therefore useful to estimate the heat effect upon the material such as a residual stress and strain, metallurgical change, change in physical properties and etc.

記 號

- r_s : 電極의 先端에서의 半徑
- r_o : 溫度變化가 일어나는 領域의 最大半徑
- r : 座標原點에서 任意의 點까지의 距離
- t : 任意의 點에서의 溫度
- t_w : 板의 熔接溫度(板의 熔解點 溫度)
- t_{po} : 板의 初期溫度
- T : $t - t_{po}$
- T_o : $t_w - t_{po}$
- α : 热擴散率
- θ : 熔接電流가 끊어진 後부터의 時間

1. 緒 言

우리 生活週邊에서 흔히 使用되고 있는 鐵鋼材 또는 알루미늄合金材 等의 金屬材料는 그 成分 및 製造過程에 따라 각기 다른 物理的 特性을 갖고 있다.

이러한 材料의 特性은 熔接過程中에 받게 되는 热

에 依하여 그 材料의 熔解點 溫度까지 局部의 으로 急激히 加熱되었다가 冷却됨으로 因하여 局部의 으로는 母材와 다른 性質로 變化되게 된다. 이러한 材料의 溫度履歷에 따른 局部의 性質變化가 热應力 및 热變形 그리고 残留應力 및 残留變形의 主要한 原因이 된다.

이와 같은 熔接部品 特有의 局部의 應力 및 變形은 그 自體가 構造物에 構造上 缺陷을 가져오거나 다른 주어진 荷重에 依한 應力 및 變形과 重疊되어 缺陷을 나타내는 例를 쉽게 찾아 볼 수 있다. 따라서 위의 問題들을 解析하는데 있어, 그 첫 段階로 볼 수 있는 熔接過程中에 母材가 받게 되는 溫度履歷을 実明하기 為한 理論的 및 實驗的 研究가 活潑히 이루어지고 있다.

D. Rosenthal은 電弧熔接 過程을 热源의 移動으로 取扱하여 理論的 解析을 하고 다시 이를 實驗的으로 檢證하고 있다[2], [1]. R.J. Grosh 와 E.A. Trabant 는 D. Rosenthal이나 Nippe 等의 理論的 解析에서

材料의 物理的 性質이 溫度變化에 關係없이 一定하다고 보고 解析한데 對하여 이들을 溫度의 函數로 取扱한 數值解를 求하고 이를 實驗值 및 前述한 Nippe의 理論解[16]와 比較하고 있다. 또한 D.J. Sullivan은 溫度變化에 따른 材料의 物理的 性質의 變化가 크게 問題視되지 않는 比較的 낮은 溫度까지 加熱되는 soldering의 경우에 對한 溫度履歷을 理論解析하고 있으며[4], Warren Rice와 E.J. Funk는 抵抗點熔接으로 異種材料들을 熔接할 때의 加熱過程을 一次元 energy flow로 보고 理論解析하고 있다.

本論文에 있어서는 比較的 簡單한 形態이면서도 理論解析이 잘 알려지지 않은 抵抗點熔接時의 冷却過程에 對한 溫度履歷을 理論解析하고 溫度變化가 일어나는 領域을 本論文 2節의 理論展開에서 詳述한 바와 같이 電極直徑의 5倍로 看做하여 數值計算함으로서 抵抗點熔接에서 問題될 수 있는 热應力 및 热變形 그리고 殘留應力 및 殘留變形를 求하는 基礎資料를 提示하였다.

2. 理論解

緒言에서 言及한 研究들 [1] [2] [3] [4] [5]들에 根據하여 理論解析에 있어서 다음과 같은 假定들을 設定한다.

1) 密度, 比熱, 热傳達係數等의 物理的 性質은 工學의 近似計算의 目的으로서는 溫度에 關係없이 一定한 值을 갖는다고 볼 수 있다.

2) 抵抗熱에 加熱되는 領域은 使用한 熔接電極의 直徑과 같은 直徑을 갖는 領域이 되며, 이 領域內의 모든 點은 材料의 熔解點溫度까지 均一하게 加熱된다.

3) 對流 및 辐射에 依한 热傳達은 그 크기가 傳導에 依한 热傳達에 比하여 褐선 작기 때문에 이를 無視할 수 있다.

4) 抵抗熱에 依하여 加熱되었던 板要素가 冷却될 때 母材는 傳導되어온 热에 依하여 理論上으로는 無限遠方까지 溫度變化가 일어날 것이다, 實際面에서는 抵抗入熱이 크지 않음을 考慮하여 溫度變化는 熔接電極 直徑의 5倍의 直徑을 갖는 圓板內에서만 일어난다고 看做한다.

以上의 假定下에서 生각하는 問題는 二次元 問題로 彙着된다.

따라서 Fig. 1에서와 같이 座標系로서 加熱된 板要素 即 熔接部의 中央에 原點을 둔 極座標系를 指한 溫度分布는 原點에 對하여 回轉對稱이 됨으로

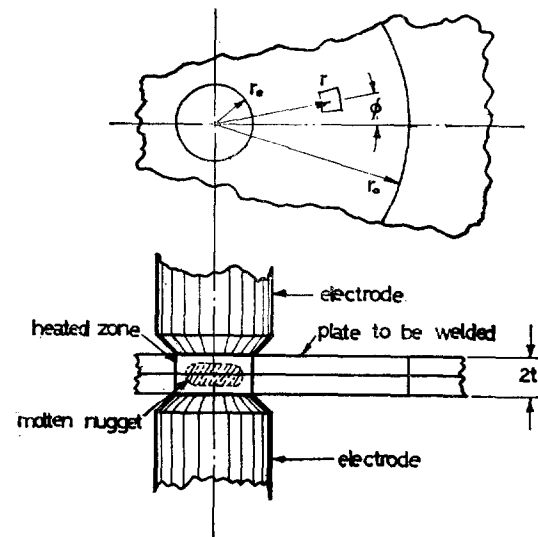


Fig. 1 Coordinate System

Fourier의 热傳導 方程式은 다음과 같은 形式을 쓸 수 있다.

$$\frac{\partial^2 T}{\partial r^2} + \frac{1}{r} \frac{\partial T}{\partial r} = \frac{1}{\theta} \frac{\partial T}{\partial \theta} \quad \dots \dots \dots (1)$$

i) 方程式의 前述한 假定에 依한 條件式

$$\left. \begin{array}{l} \theta=0, \quad 0 \leq r \leq r_o \text{ 일 때 } T=T(r) \\ \theta \geq 0, \quad r=r_o \text{ 일 때 } T=0 \end{array} \right\} \quad \dots \dots \dots (2)$$

을 滿足하는 解는

$$T = \sum_{n=1}^{\infty} C_n e^{-(\lambda_n)^2 \theta} J_0(M_n \frac{r}{r_o}) \quad \dots \dots \dots (3)$$

와 같이 쓸 수 있다.

但 여기서 M_n 은 0次의 第1種 Bessel函數를 0 으로 하는 固有值이다.

$$\text{即 } J_0 \left(\frac{\lambda_n}{\sqrt{\alpha}} r_o \right) = J_0(M_n) = 0$$

따라서 Fourier—Bessel 展開로서 (3)式의 C_n 을 決定하면

$$C_n = \frac{2}{r_o^2 \{ [J_0(M_n)]^2 + [J_1(M_n)]^2 \}} \int_0^{r_o} r T(r) J_0 \left(M_n \frac{r}{r_o} \right) dr \quad \dots \dots \dots (4)$$

이 된다.

따라서 (4)式을 (3)式에 代入하면 (5)式

$$T = \frac{2}{r_o^2} \sum_{n=1}^{\infty} e^{-(M_n/r_o)^2 \alpha \theta} \frac{J_0(M_n \frac{r}{r_o})}{[J_1(M_n)]^2} \int_0^{r_o} r T(r) J_0 \left(M_n \frac{r}{r_o} \right) dr \quad \dots \dots \dots (5)$$

을 얻는다.

이제 初期溫度分布에 關한 假定

$$\left. \begin{array}{l} 0 \leq r \leq r_e \text{ 일 때 } T(r) = t_w - t_{po} \\ r_e \leq r \leq r_o \text{ 일 때 } T(r) = 0 \end{array} \right\} \quad \dots \dots \dots \quad (6)$$

를 사용하여 (5)식의 積分項을 計算하면 다음과 같나.

$$\int_0^{r_e} r T(r) J_0(M_n \frac{r}{r_o}) dr = \frac{(t_w - t_{po}) r_o \gamma_e}{M_n} \cdot J_1(M_n \frac{\gamma_e}{r_o}) \quad \dots \dots \dots \quad (7)$$

(7)식을 (5)식에 代入하면 求하고자 하는 解를 얻을 수 있다. 即

$$t = t_{po} + \frac{2 \gamma_e}{r_o} (t_w - t_{po}) \sum_{n=1}^{\infty} e^{-(M_n / r_o)^2 \alpha \theta} \cdot \frac{J_1(M_n \frac{\gamma_e}{r_o}) (M_n \frac{r}{r_o})}{[J_1(M_n)]^2 M_n} \quad \dots \dots \dots \quad (8)$$

따라서 板의任意의 點에서 半徑方向의 温度變化率과 冷却速度는 다음 式으로 表示된다.

$$\frac{dt}{dr} = \frac{-2 \gamma_e (t_w - t_{po})}{r_o^2} \sum_{n=1}^{\infty} e^{-(M_n / r_o)^2 \alpha \theta} \cdot \frac{M_n J_1(M_n \frac{\gamma_e}{r_o}) J_1(M_n \frac{r}{r_o})}{[J_1(M_n)]^2} \quad \dots \dots \dots \quad (9)$$

$$\frac{dt}{d\theta} = \frac{-2 \gamma_e (t_w - t_{po}) \alpha}{r_o^3} \sum_{n=1}^{\infty} e^{-(M_n / r_o)^2 \alpha \theta} \cdot \frac{M_n J_1(M_n \frac{\gamma_e}{r_o}) J_0(M_n \frac{r}{r_o})}{[J_1(M_n)]^2} \quad \dots \dots \dots \quad (10)$$

3. 數值計算

Table 1에서 보는 바와 같이 比較的 많이 쓰이면서도 그 性質이 對照的이라 할 수 있는 低炭素鋼과 알루미늄을 擇하여 서울大學校 工科大學에서 保有하고

Table 1. Comparision of the physical properties for the low carbon steel and aluminum alloy

Physical property	low carbon steel	aluminum alloy
Young's modulus (psi)	30,000,000	10,000,000
density (lbs/ft ³)	487	171
specific heat(Btu/lbs-F)	0.113	0.22
thermal conductivity (Btu/hr-ft-F)	25	95-110
thermal diffusivity (in ² /sec)	0.01808	0.1466
melting point(°F)	2700	1220
annealing temperature (°F)	1500-1695	527

있는 電子計算組織 IBM 1130을 使用하여 温度, 半徑方向의 温度變化率 그리고 冷却速度를 計算하였다.

이때 式 (8), (9), (10)으로 부터 알 수 있드시 時間 θ 가 작을 경우에는 그 收斂速度가 느리므로, θ 의 작은 值에 對하여서도 精度높은 值을 얻기 為하여 級數의 項數 n 을 20 까지 取하였다.

또한 計算位置는 焊接熱에 依한 温度變化가 일어나지 않는다고 생각한 半徑 r_o 를 單位길이로 하는 無次元數로 取하고 過度는 母材의 焊接溫度 即 焊解點溫度를 單位 温度로 하는 無次元數로 取하여 計算하였다. 따라서 γ_e 는 假定한 바와 같이 0.2가 된다.

4. 計算結果 및 考察

計算된 值들로 부터 低炭素鋼에 對한 温度分布, 温度履歷, 温度變化率 및 冷却速度를 Fig. 2-1, Fig. 2-2, Fig. 2-3 및 Fig. 2-4에 表示하였으며 알루미늄合金에 對한 것은 Fig. 3-1, Fig. 3-2, Fig. 3-3 및 Fig. 3-4에 表示하였다.

Fig. 2-1에 依하면 加熱되었던 焊接部分은 焊接作業中 加熱되지 않았던 部分으로 热傳導가 急激히 일어남으로 그 境界面으로 부터 急激히 冷却되게 된다.

反對로 加熱되지 않았던 板은 焊接部에 가까울수록 傳導되어온 热에 依하여 急激히 加熱되나 加熱溫度는 낮고 比較的 缓慢한 温度로 冷却되게 된다. 이는 Fig. 2-3 및 Fig. 2-4에서도 確認할 수 있다.

이러한 事實은 比較的 낮은 温度까지 加熱되는 soldering 경우에 對하여 温度變化領域을 無限遠方까지 取한 D.J. Sullivan의 計算結果[4]와 잘一致하고 있다. 그러나 點焊接에서 加熱되는 温度는 높기 때문에 温度變化에 따른 物理的 性質의 變化로 因하여 實驗值와는多少差異가 있을 것이 豫測된다. 그러나 그 差異는前述한 R.J. Grosh와 E.A. Trabant의 研究結果로 미루어 判斷할 때 5~10%의範圍內에 있을 것이 分明하다.

Fig. 2-2의 位置에 따른 温度履歷 線圖에서 任意時間後의 温度를 알 수 있다. 따라서 焊接後 얻어지는 焊接部의 組織狀態는 該當材料의 S曲線과 比較함으로서 미리 豫測할 수 있다. 그런데 S曲線과 比較하기에 앞서서 考慮하여 할 點은 加熱되어 焊解된 部分과 焊解되지 않은 部分이 焊接部內에 共存하게 된다는 事實이다. 即 實際焊接作業에 있어서 60 Hz의 電源을 使用하였을 때 加熱過程은 板두께에 따라

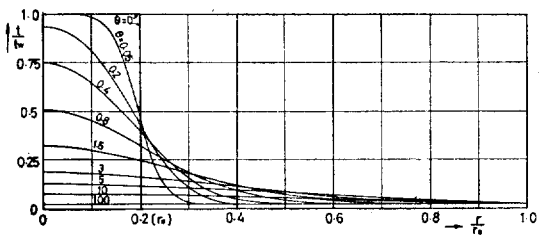


Fig. 2-1 Transient temperature distributions in a low carbon steel plate

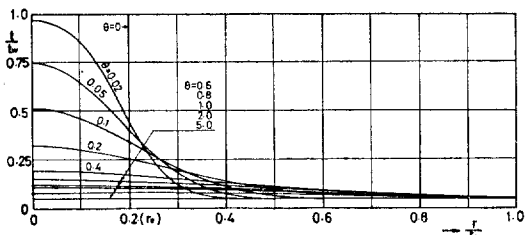


Fig. 3-1 Transient temperature distributions in an aluminum alloy plate

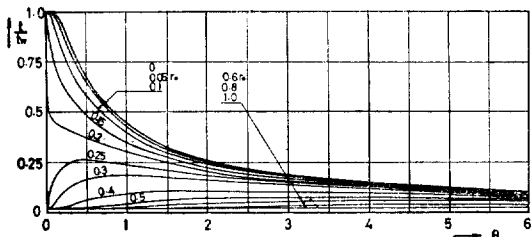


Fig. 2-2 Temperature histories in a low carbon steel plate

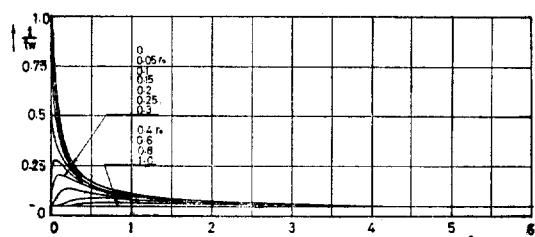


Fig. 3-2 Temperature histories in an aluminum alloy plate

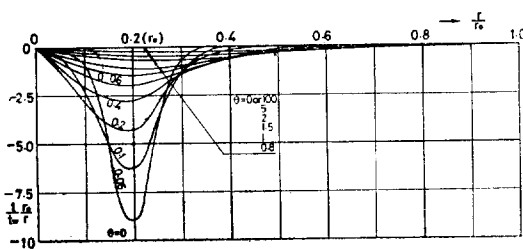


Fig. 2-3 Transient temperature gradient in a low carbon steel plate

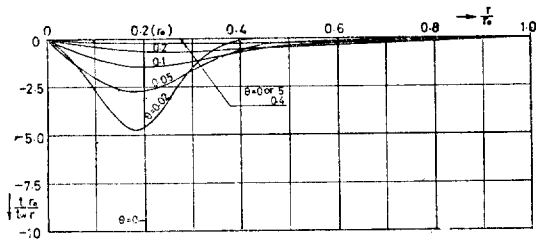


Fig. 3-3 Transient temperature gradient in an aluminum alloy plate

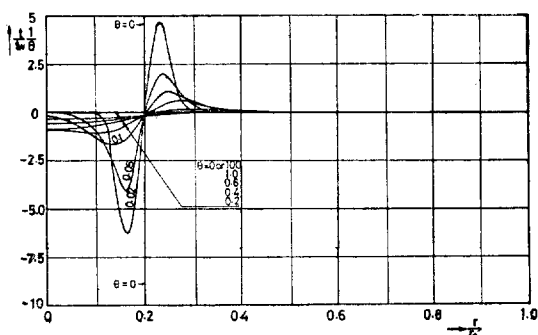


Fig. 2-4 Transient cooling rate in a low carbon steel plate

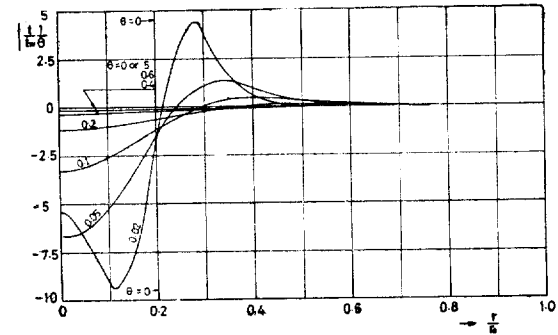


Fig. 3-4 Transient cooling rate in an aluminum alloy plate

差異은 있으나最大 20 Hz程度의區間이 使用됨으로
入熱時間이 大端히 짧을 뿐 아니라急速히冷却되기
때문에熔接入熱이充分히 큰 경우에도部分으로
는熔解되지 않는部分이 있게 된다는點이다.美國
熔接學會의作業標準에依한作業을施行하였을 때,
주어진電極으로서熔接할 수 있는板두께들의平均
值에對하여調查하여 보면實際로熔解되는區間은
熔接電極直徑의 75%程度의直徑을 갖는區間이 됨
을 알 수 있다. 따라서實際로 S曲線과比較할 수
있는區間은熔解되어鑄造組織으로나타나는中央의
75%를除한殘餘區間이 된다[9][10]. 그러나이
25%의外廓部分에對하여計算된溫度履歷과 S曲線
을比較하여 봄으로써 할 수 있는 것은 바로이區間
이急速히冷却되기 때문에甚하게硬化되는熱影響
부가 된다는점이다. 뿐만 아니라이區間은몇몇의
組織寫真[9][10]들에서도確認할 수 있드시組織變化
를顯微鏡으로觀察할 수 있는區間이라는점이다.熔
接部의冷却過程에서加熱되는周邊의板要素은加
熱溫度가低炭素鋼의再結晶溫度보다낮기때문에顯
微鏡検査로서는組織變化를識別하기 어려우나強度
低下는確認되고 있는데[14]이區間이加熱되는溫度
範圍가鋼의變態溫度보다낮다는事實을考慮한다면
이强度低下의原因은組織變化에依한다기보다는
熱應力이나殘留應力에原因이 있는 것으로 생각
되며,이는計算된溫度分布를利用하여計算함으로
確認할 수 있을 것이기대된다.

Fig. 3-1, Fig. 3-2, Fig. 3-3 및 Fig. 3-4의 알루
미늄에對한線圖들로부터溫度分布의傾向이低炭
素鋼의 경우와 거의 같은 것을 알 수 있다. 그러나
알루미늄의物理的性質이Table 1에보인바와같이
低炭素鋼과對照의이기 때문에冷却이 더욱急速
히 일어나서熔接作業이完了된後約5秒後면板의
初期溫度를 되찾게된다. 또한熔接入熱을直接加熱
되지 않았던熔接部周邊의板要素에對한加熱溫度
의熔接溫度에對한比 $t_w/t_{w\text{熔接}}$ 는 알루미늄合金과低炭素
鋼에서同等한 값을 갖는다.

그리나 알루미늄은annealing溫度가527°F로서鐵
鋼材에比하여훨씬낮을뿐아니라짧은時間加熱
되는條件에서는450°F程度에서도强度低下가일어
남으로加工硬化된母材일경우에는强度抵下가
더욱두드러지게나타난다. 따라서熔接時熱影響으로
組織및强度에變化가일어나는範位가低炭素
鋼에比하여훨씬크게된다는것을알수있다.

위의 두 경우에 있어서材料의接觸抵抗으로因한

內部加熱溫度의差異,材料의物理的性質의溫度에
따른變化外에도加熱에所要된時間, 그리고熔解
된部分의潛熱로因한效果等에依해서도溫度分布
가달라질것이豫想된다. 이들中接觸抵抗과潛
熱로因한效果는本論文에서보인理論解法에서條
件式(6)을바꾸어준다면좀더實際와接近된값을
얻을수있을것이다.

5. 結論

上述한 바들로부터,本論文에서使用的假定下
에서도理論解析된溫度分布는工學的目的으로 그
有用性이認定되며, 이理論解의結果를利用함으로
서抵抗點熔接이母材에 미치는熱影響을 어느程度
推理解할 수 있다고믿어진다.

後記

本理論展開에 있어서 많은助言을 주신學內의여
러教授님들께謝意를表하는바이다.

参考文献

- [1] D. Rosenthal and R. Schmerber, "Thermal Study of Arc Welding-Experimental Verification of Theoretical-Formulars," *Welding Journal R.S.* p.2-8, 1938.
- [2] D. Rosenthal, "Mathematical Theory of Heat Distribution During Welding and Cutting" *Welding Journal R.S.* p.220-234, 1941.
- [3] R.J. Grosh and E.A. Trabant, "Arc Welding Temperatures" *Welding Journal R.S.* p.396-400, 1956.
- [4] D.J. Sullivan, "Heat Transfer During Resistance Welding and Dip Soldering" *Welding Journal R.S.* p.79-81, 1965.
- [5] Warren Rice and E.J. Funk, "An Analytical Investigation of the Temperature Distributions During Resistance Welding" *Welding Journal R.S.* p. 175-186, 1967.
- [6] L.R. Ingersoll, O.J. Zobel, A.C. Ingersoll, "Heat Conduction with Engineering, Geological, and Other Applications" The University of Wisconsin Press, 1954.
- [7] P.J. Schneider, "Conduction Heat Transfer" Addison Wesley Company, Inc. 1957.

- [8] A.W.S., "Welding Handbook" Third Edition
American Welding Society, 1956.
- [9] A.W.S., "Welding Handbook" Sixth Edition,
American Welding Society, 1969.
- [10] A.W.S., "Resistance Welding Theory and Use"
American Welding Society, 1966.
- [11] E. Fray and Jeffries, "The Aluminum Industry"
McGraw-Hill Book Company, Inc. 1930.
- [12] Milton Abramowitz and Irene A. Stegun, "Handbook of Mathematical Functions with Formulas,
- Graphs, and Mathematical Tables*" Dover Publication, Inc., New York
- [13] 渡邊正紀, 住藤邦彦 "船體熔接法" 海文堂, 1961
- [14] 矢野雄三, 山根巖 "熔接作業" 產業圖書, 1964
- [15] 李澤植譯 "熱傳達" 東明社, 1969
- [16] Nippes, E.F., Wawrousek. H., Fleishmann.
W.F., "Some Properties of Heat Affected Zone
in Arc Welded Type 347 Stainless Steel."
Welding Journal R.S. p.169. 1955.